

Study of Expression Level of Cartilage Genes in Rat Articular Chondrocyte Monolayer and 3D Cultures Using Real Time PCR

Eslaminejad M.B., Ph.D.* , Taghyar L., M.Sc., Falahi F., M.Sc.

***P.O. Box: 19395-4644 Stem Cell Department, Cell Sciences Research Center, Royan Institute, ACECR, Tehran, Iran**

Abstract

Purpose: to compare the expression level of certain genes related to cartilage and non-cartilage tissues at monolayer and alginate cultures derived from rat articular cartilage.

Materials and Methods: Articular cartilage was harvested from knee joints of 10 male rats and was digested using enzymatic solution consisting of 0.2% collagenase I and 0.1% pronase. Released chondrocyte were then plated in 25-cm² culture flasks and expanded. For alginate culture, about 5×10^6 passaged-5 cells were mixed with 1 ml alginate solution and cultivated as small beads for a period of two months. During the culture, the expression of Sox9, collagen II, I and aggrecan genes were quantified by real time PCR and compared with the gene expressions at monolayer cultures. Furthermore, the cell morphology, in this study, was observed using either conventional or inverted light microscopy.

Results: The cells at monolayer cultures were observed as spindly shaped cells, while within alginate, chondrocytes tended to be morphologically spherical cells. Real time PCR analysis indicated that at monolayer cultures, the expression of Sox9, collagen II and aggrecan were significantly down-regulated while the expression of collagen I was largely up-regulated. In contrast to monolayer cultures, the expression levels of sox 9, collagen II and aggrecan, at alginate cultures, tended to be statistically high while collagen I was observed to be expressed at negligible level. All these differences were statistically significant ($p < 0.05$).

Conclusions: While at chondrocyte monolayer cultures, the cartilage-specific gene expressions appeared to be significantly down-regulated, alginate culture tended to stimulate the cells to express the genes in statistically high levels.

Keywords: Articular chondrocytes, Alginate, Sox9, collagen II, I and aggrecan.

بررسی میزان بیان ژن‌های غضروفی در کشت تک لایه و سه بعدی کندروسیت‌های مفصلی موش صحرایی با روش Real time PCR

محمد رضا باغبان اسلامی نژاد.^{*} Ph.D.,^{*} لیلا تقی یار.^{M.Sc.}, فهیمه فلاحتی.^{*}

* گروه سلول‌های بنیادی و زیست شناسی تکوینی، مرکز تحقیقات علوم سلولی جهاد دانشگاهی، پژوهشکده رویان، تهران، ایران
تاریخ وصول: تیرماه ۸۹، تاریخ پذیرش: شهریور ماه ۸۹

چکیده

هدف: مقایسه میزان بیان برخی ژن‌های اختصاصی و غیر اختصاصی بافت غضروفی در کشت سه بعدی (داخل آلتینیت) و تک لایه کندروسیت‌های مفصلی

مواد و روش‌ها: غضروف مفصلی از زانوی ده سر موش صحرایی نر جدا شد و در محلول آنزیمی متخلص از کلائزناز تیپ I/۰/۲ درصد و پروناز ۱/۰ درصد قرار داده شد. کندروسیت‌های رها شده، در فلاسک‌های ۲۵ سانتی‌متری کشت و با انجام چندین پاساژ تکثیر شد. سپس 5×10^6 سلول پاساژ ۵، با یک میلی‌لیتر ژل آلتینیت ۱/۵٪ مخلوط شد و سوپاپنسیون سلولی حاصل به صورت دانه‌های ریز، به مدت ۲ ماه کشت شد. در زمان‌های مختلف کشت، میزان بیان ژن‌های Sox 9، کلائزن II، I و آگریکان با روش Real time PCR اندازه‌گیری شد و با کشت کندروسیت‌ها در سطح ظروف پلاستیکی مقایسه شد. همچنین مورفولوژی سلول‌ها در دو حالت کشت با میکروسکوپ نوری معمولی یا معکوس مشاهده شد.

یافته‌ها: سلول‌ها در کشت تک لایه با مورفولوژی دوکی شکل مشاهده شدند، در حالی‌که در کشت سه بعدی مورفولوژی گرد و کروی داشتند. بررسی‌های مولکولی نشان داد که در کشت دو بعدی (تک لایه) بیان ژن رونویسی SOX9 و همچنین ژن‌های کلائزن II و آگریکان کاهش و بیان کلائزن I افزایش یافته است. در حالی‌که در کشت آلتینیت، ژن SOX9 به مقدار زیادی بیان شد که با افزایش در بیان ژن کلائزن II و آگریکان همراه بود. از طرفی بیان کلائزن I کاهش چشمگیری داشت. تفاوت بیان ژنی در دو حالت کشت، از لحاظ آماری معنی دار بود ($P < 0.05$).

نتیجه‌گیری: تحت شرایط کشت دو بعدی، بیان ژن‌های اختصاصی غضروفی در کندروسیت‌های کشت یافته، به‌طور چشمگیری کاهش می‌یابد. با کشت مجدد سلول‌ها در داخل آلتینیت سطح بیان ژن‌ها به‌طور معنی‌داری افزایش می‌یابد.

کلیدواژه‌ها: کندروسیت، آلتینیت، ژن رونویسی SOX9، آگریکان، کلائزن I و II

مقدمه

غضروف، چنین عارضه‌ای صعب العلاج است و به همین دلیل محققین همواره درصدند تا روش درمانی مناسبی برای آن بیابند. فناوری‌های مهندسی بافت امیدهای زیادی را برای بازسازی

یکی از اختلالات شایع در افراد سالم‌مند، تحلیل رفتگی بافت غضروفی به‌دبیال افزایش سن یا تروما است که نتیجه آن بیماری استئوآرتیت است [۱]. به دلیل محدودیت پتانسیل ترمیم در

آدرس مکاتبه: تهران، بزرگراه رسالت، خیابان بنی هاشم، میدان بنی هاشم، کوچه حافظ شرقی، پژوهشکده رویان، کد پستی ۱۶۶۵۶۵۹۹۱۱
Email: eslami@royaninstitute.org

فیبروبلاست در می‌آیند یا اینکه با کشت مجدد در داخل داربست سه بعدی خصوصیات تمایز یافته‌گی را دوباره کسب می‌کنند، در مطالعات پیشین بررسی شده است [۹-۴]. از آنجایی که فنتوپ سلول وابسته به ژنوتیپ آن است، می‌توان به راحتی تصور کرد که این تغییرات فنتوپی در دو حالت کشت دو بعدی و سه بعدی کندروسیت‌ها در اثر تغییرات ژنوتیپی آن‌ها اتفاق می‌افتد. به عبارتی دیگر؛ تحت شرایط کشت دو بعدی ژن‌های تمایز یافته‌گی خاموش می‌شود یا در حد بسیار پایینی بیان می‌شود و همین ژن‌ها در کشت سه بعدی افزایش بیان پیدا می‌کند. مطالعات در ارتباط با مقایسه الگوی بیان ژنی کندروسیت‌های مفصلی در کشت دو بعدی و سه بعدی محدود است [۱۵-۱۸]. مطالعه حاضر به این موضوع می‌پردازد.

هدف مطالعه حاضر بررسی کمی بیان برخی ژن‌های مربوط به بافت‌های اسکلتی شامل Sox 9، کالاژن II، کالاژن I و آگریکان در کشت دو بعدی و سه بعدی کندروسیت‌های مفصلی موش صحرایی است. برخلاف مطالعات گذشته، در تحقیق حاضر بررسی بیان ژنی در کشت طولانی مدت دو ماهه انجام شده است و برای این منظور ژن‌های اختصاصی غضروف مورد توجه قرار گرفته است. برای تعیین میزان دقیق بیان ژنی از روش Real time PCR استفاده شد.

مواد و روش‌ها

کشت تک لایه کندروسیت‌های مفصلی رت

استفاده از موش صحرایی در مطالعه تجربی حاضر، توسط کمیته اخلاق پژوهشگاه رویان به تصویب رسید. ۸ سر موش نر Wistar به سن تقریبی ۶-۴ هفته و وزن ۲۵۰-۲۰۰ گرم به روش خفگی با CO₂ قربانی شدند. زانو به کمک الكل ۷۰ درصد ضد عفونی شده، موهای ناحیه مفصل باتیغ تراشیده شد و با کمک تیغ مفصل زانو باز شد. لایه غضروف موجود روی دو انتهای استخوان ران و

ضایعات وسیع غضروف به وجود آورده است [۲-۳].

استراتژی سلول درمانی یکی از روش‌های امید بخش به منظور ترمیم ضایعات بافت غضروفی است. برای انجام سلول درمانی از منابع سلولی متفاوتی استفاده می‌شود که از آن جمله می‌توان به کندروسیت‌های غضروف مفصلی اشاره کرد. ولی استفاده از کندروسیت‌ها محدودیت‌هایی دارد که می‌توان به کمی تعداد آن‌ها در نمونه‌های بافتی و تمایز زدایی‌شان در کشت دو بعدی (کشت در ظروف کشت) اشاره کرد [۴]. کندروسیت‌ها در کشت تک لایه در کمتر از یک هفته مورفولوژی خود را از دست می‌دهند [۵] و خصوصیات بیوشیمیایی آن‌ها تغییر می‌یابد. همچنین در کشت دو بعدی عملکرد سلول‌ها یعنی ترشح ماتریکس اختصاصی بافت غضروف هیالین متوقف می‌شود [۶].

آثینت به عنوان یک داربست مهم زیست تخریب‌پذیر، مایع بوده و در حضور یون‌های کلسیم به ژل تبدیل می‌شود. چنانچه سلولی در داخل آثینت کشت شود، ژل آثینت قادر است سلول‌ها را احاطه (encapsulate) کرده، ماتریکس ترشح شده توسط آن‌ها را نگهداری نماید [۷-۹]. مزیت دیگر آثینت، این است که ژل حاصل را می‌توان به اشکال مورد نظر درآورد. از این ویژگی می‌توان برای ایجاد سازه‌های غضروفی مناسب با شکل محل ضایعه بهره گرفت [۱۰-۱۱]. تا به حال در چندین تحقیق، تاثیرات مثبت ژل آثینت بر کشت کندروسیت‌ها به اثبات رسیده است. از جمله پیاژه (Paige) و همکاران گزارش کرده‌اند که سلول‌های کندروسیت جدا شده از غضروف مفصلی خرگوش در زمان کشت در داخل ژل آثینت، خصوصیات ترشحی خود را حفظ کرده و دچار تمایز زدایی نمی‌شوند [۱۲]. همچنین لمار (Lamar) و همکاران و هازلمان (Hauselmann) و همکاران نیز نتایج مشابهی را گزارش کردند [۱۳-۱۴].

اینکه کندروسیت‌ها در زمان کشت روی پلاستیک مورفولوژی تمایز یافته‌گی خود را از دست می‌دهند و به شکل

حضور یون‌های کلسیم به ژل تبدیل شد. سپس محلول کلرید کلسیم خارج و دانه‌ها یکبار با محلول PBS⁺ شسته شد. این دانه‌های حاوی کندروسیت به مدت ۶۰ روز در محیط DMEM حاوی ۱۵ درصد سرم گاوی در شرایط ۳۷ درجه سانتی‌گراد و ۵% CO₂ درصد انکوبه شد و طی روزهای ۲۰، ۴۰ و ۶۰ بررسی‌های مورد نظر روی آن‌ها انجام شد.

میکروسکوپ نوری

برای مشاهده مورفولوژی کندروسیت‌ها در داخل آلتزینت، قطرات آلتزینتی حاوی سلول با فرمالین ۱۰ درصد ثبیت شد و پس از آبگیری با الکل و شفاف‌سازی با گزیل در قالب‌های پارافینی قالب‌گیری شد. سپس برش‌های ۵ میکرومتری تهیه و با تولوئیدن بلو رنگ‌آمیزی شد.

خارج کردن کندروسیت‌ها از ژل آلتزینت برای بررسی‌های مولکولی

برای انجام بررسی‌های مولکولی، کندروسیت‌ها به روش زیر از ژل خارج شدند. ابتدا دانه‌های آلتزینت دوبار با محلول (PBS: Phosphate buffer solution) شستشو شد و سپس به مدت ۳۰ دقیقه در محلول سیترات سدیم در دمای ۴ درجه سانتی‌گراد قرار داده شدند تا ژل حل شود. آنگاه سلول‌ها به کمک سانتریفیوژ با دور ۱۳۰۰ g ۱۰ دقیقه از ژل جدا شدند. سپس به آن اضافه شد. کندروسیت‌ها پس از ۲۴ ساعت در کشت ۷۵ سانتی‌متری کشیده شدند و سپس به آن اضافه شد. کندروسیت‌ها پس از ۲۴ ساعت به کف ظرف چسبیده و شروع به تکثیر نمودند.

کندروسیت‌ها در زمانی که حدود ۷۰ تا ۸۰ درصد ظرف کشتم را پر کردند به کمک ۰/۲ trypsin-EDTA درصد (Gibco;Germany) از کف ظرف جدا شدند (پاساژ یک) و به ظرف جدید انتقال یافتند. با انجام چندین پاساژ تعداد سلول‌ها افزایش یافت.

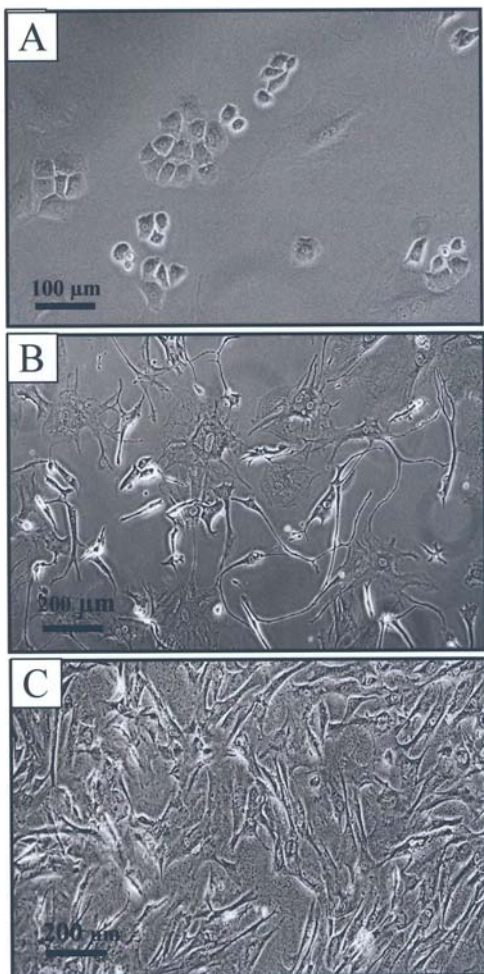
کشت سه بعدی کندروسیت‌ها در ژل آلتزینت

کندروسیت‌های حاصل از پاساژ ۵ با تراکم ۵×۱۰^۷ سلول در ۱ میلی لیتر محلول آلتزینت (Sigma, Germany) ۱/۵ درصد شناور کرده و سپس به کمک سرنگ و سر سوزن شماره ۲۲ در دیش‌های باکتریال ۶ سانتی‌متری در محلول ۱۰^۹ میلی‌مolar کلرید کلسیم قطره‌گذاری شد. دانه‌ها (beads) یا قطرات ژل حاوی سلول به مدت ۲۰ دقیقه در این محلول نگهداری شد تا محلول آلتزینت در

بررسی‌های مولکولی Real time PCR

ابتدا کل RNA ای موجود در کندروسیت‌ها در کشت سه بعدی و دو بعدی در روزهای ۲۰، ۴۰ و ۶۰، با استفاده از کیت RNX-plus (Cinnagen, Iran) روش (NXTM-Plus) استخراج شد. غلظت RNA با استفاده از اسپکتروفوتومتر در طول موج ۲۶۰ نانومتر سنجیده شد. قبل از RT reaction توده RNA با استفاده از آنزیم DNAase زدایی شد.

مورفولوژی کندروسیت‌ها از فرم گرد به سلول‌های کشیده و دوکی شکل تغییر کرد (شکل ۵). (B,C).



شکل ۱. تصاویر میکروسکوپ معکوس از کشت کندروسیت‌های غضروف مفصل زانوی موش صحرایی. (A) کشت اولیه: کندروسیت‌ها به صورت تجمعات چند سلولی با مورفولوژی گرد و چند وجهی دیده می‌شوند. (B) پاساژ اول کندروسیت‌ها: مورفولوژی‌های متنوعی در کشت دیده می‌شود. (C) پاساژ ۵: کندروسیت‌ها مورفولوژی فیبروبلاستی دارند.

کشت سه بعدی کندروسیت‌ها در آلتینت

کندروسیت‌ها پس از انتقال به ژل آلتینت دوباره مورفولوژی گرد به خود گرفتند و در حفرات لاکونا مانند مستقر شدند. (شکل ۶).

واکنش RT برای ۲ میلی گرم RNA با استفاده از پرایمر RevertAidTM (Fermentas life science, Lithuania) راندوم هگزامر و کیت SYBRR Green PCR Master در Real-time PCR استفاده از Efficiency واکنش با پرایمرهای اختصاصی ژن‌های کلازن I, II, III و sox9 و اگریکان به کار برده شد. برای تمام ژن‌های serial dilution در ۶ غلظت با ضریب رقت ۵/۱ انجام شد. Ct های بدست آمده از دستگاه Applied Biosystem با استفاده از متود $\Delta\Delta CT$ و با فرض efficiency=٪۱۰۰ آنالیز شد. داده‌های حاصل با استفاده از SPSS و تست tukey و LSD بررسی شد و نمودار داده‌های مربوط به بیان ژن که به صورت میانگین \pm انحراف معیار محاسبه شده بود، در Excel رسم شد.

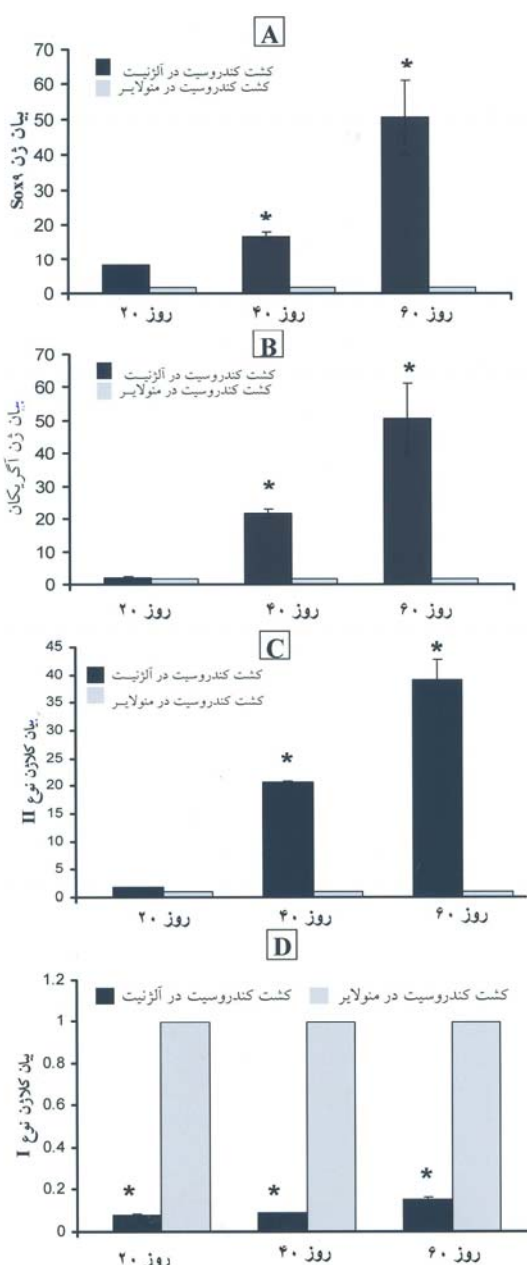
جدول ۱. پرایمرهای مورد استفاده در Real time PCR

Gene name	Sequence	Annealing Temperature
Collagen II	F: 5' ACTTTGACCGAGCCCAGCGG 3' R: 5' CAATGTCAACAATGGGAAGG 3'	60
Aggrecan	F: 5' GCCGAGGGCACACAGCAGGTT 3' R: 5' CCTTCCCATTGTTGACATTG 3'	60
Collagen I	F: 5' ACTGGAGAGGTGGGCACCC 3' R: 5' GTCTTGAGGAAACTT TGCT 3'	60
SOX9	F: 5' GACGTGGACATCGGTGAGCTG 3' R: 5' CTCCAGCGACCAGCGGGGCCACG 3'	60
GAPDH	F: 5' TGAAGATTGTCAGCAATGCC 3' R: 5' AACATCATCTGCTTCTACTG 3'	60

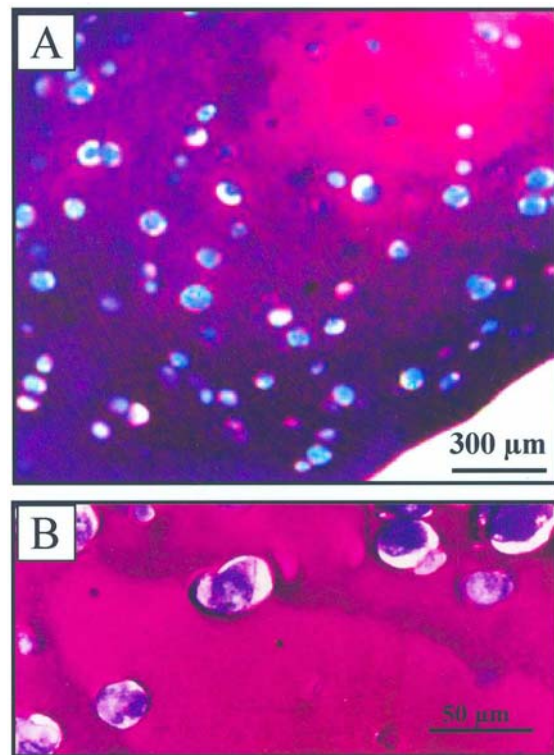
یافته‌ها

کشت تک لایه کندروسیت‌ها

کندروسیت‌ها در کشت اولیه مورفولوژی گرد و چند ضلعی داشتند (شکل ۱). به مرور طی پاساژهای بعدی



شکل ۳. بیان ژن‌ها در کشت تک لایه و آژنه کندروسیت‌ها. (A) بیان ژن Sox9: این ژن در نمونه کنترل (تمایز زدایی پاساژ ۷) در حد بسیار پایینی بیان شد و در کشت سه بعدی در روزهای ۲۰، ۴۰ و ۶۰ مقدار بیان آن به ترتیب افزایش یافت. (B) بیان ژن اگریکان: این ژن در کشت تک لایه بیان بسیار کمی داشت در حالی که در کشت آژنه در روز ۲۰ بیان ژن پایین بود و از این نظر با کشت تک لایه تفاوتی نداشت ولی با ادامه کشت بیان ژن در مقایسه با کشت تک لایه افزایش یافت و تفاوت‌ها در روزهای ۴۰ و ۶۰ معنی‌دار شد ($p<0.05$). (C) بیان ژن کلاژن II: الگوی بیان این ژن در دو کشت تک لایه و آژنه مشابه آژنه I بیشترین بیان را در کشت تک لایه داشت و در کشت آژنه قبلي، ژن کلاژن II بسیار کم بود. تفاوت‌ها از لحاظ آماری معنی‌دار بود ($p<0.05$).



شکل ۲. تصاویر میکروسکوپ معمولی از مقاطع تهیه شده از کشت آژنه کندروسیت‌های غضروف مفصل زانوی موش صحرابی، رنگ‌آمیزی تولوئیدن بلور. (A) کندروسیت‌ها در داخل آژنه در حفرات لاکونا مانند مستقر شده‌اند (نتهای دوره کشت ۶۰ روزه). (B) کندروسیت‌ها در داخل حفرات لاکونا مانند با درشت‌نمایی بیشتر مشاهده می‌شوند.

Real time PCR

بر اساس آنالیز Real time PCR، کندروسیت‌ها در تمام طول کشت تک لایه، برخلاف کشت آژنه، ژن SOX9 را به مقدار بسیار کم بیان کردند (شکل A^۳). بیان این ژن در طول دوره کشت ۶۰ روزه در داخل آژنه به تدریج افزایش یافت و از این نظر تفاوت آن با کشت تک لایه در روزهای ۴۰ و ۶۰ از لحاظ آماری معنی‌دار بود ($p<0.05$). آنگوی بیان ژن‌های اگریکان و کلاژن II در دو کشت تک لایه و آژنه مشابه ژن Sox9 بود (شکل B-C^۳). برخلاف سه ژن قبلی، ژن کلاژن I بیشترین بیان را در کشت تک لایه داشت و در کشت آژنه بیان آن بسیار کم بود (شکل D^۳). تفاوت‌ها از لحاظ آماری معنی‌دار بود ($p<0.05$).

کشت اولیه (شکل A1) نشان دهنده کندروسیت بودن سلول‌هاست (فیروپلاست‌ها دوکی و کشیده است). این مورفولوژی با مطالعات پیشین مطابقت دارد.^۳ اگرچه در کشت اولیه بیان شاخص‌های غضروفی انجام نشد ولی بررسی‌های حاضر نشان داد که این سلول‌ها در کشت آلتزینت، تمام ژن‌های اختصاصی غضروف شامل آگریکان و کلاژن II و SOX9 را بیان می‌کنند.

در ارتباط با بیان ژنی کندروسیت‌ها، در دو حالت کشت دو بعدی و سه بعدی تا به حال مطالعات متفاوتی انجام شده است و ژن‌های متفاوتی بررسی شده است. Tallheden و همکاران در سال ۲۰۰۴ با کشت pellet کندروسیت‌های مفصلی انسان که به صورت تک لایه تکثیر شده بودند به مطالعه بیان ژنی آنها پرداختند. طول کشت آنها ۱۴ روز بود. نتایج نشان داد که در روز هفتم کشت، پروتئین‌های نظیر کلاژن XI و C, Tenascin, dermatopontin, فیرونکتین بیان می‌شود و در روزهای آخر ژن Sox9 افزایش بیان پیدا می‌کند^[۱۵]. در مطالعه‌ای Haudenschild و همکاران کندروسیت‌های مفصلی انسان را به صورت تک لایه کشت دادند و سیس سلول‌ها را به کشت سوسپانسیون منتقل کردند و با تراکم 10^4 و 10^6 سلول در میلی‌لیتر کشت دادند و بیان برخی ژن‌ها را پس از انتقال به کشت سوسپانسیون مطالعه کردند. این محققین بیان متفاوتی از ژن‌ها را مشاهده کردند. در کشت با تراکم زیاد ژن‌های IL-6, Mn superoxide dismutase افزایش بیان داشت؛ در حالی که در کشت با تراکم کم، ژن‌های کندروسیت بالغ نظیر کلاژن II و آگریکان افزایش بیان داشت^[۱۶]. در مطالعه‌ای دیگر استوکر (Stokes) و همکاران کندروسیت‌ها را از غضروف اپی‌فیزیال (epiphyseal cartilage) و همکاران کندروسیت‌ها را از غضروف coat شده با جنین انسان جدا کردند و روی دیش‌های poly-(2-hydroxyethyl methacrylate) روی دیش‌های پلاستیکی به صورت تمایز نیافته به مدت ۱۱ روز کشت دادند و با Microarray حدود ۵۰۰۰ ژن انسانی

همث

در تحقیق حاضر میزان بیان ژن‌های اختصاصی کندروسیت‌های بالغ مفصلی، شامل ژن کلاژن II، آگریکان و Sox9 در دو کشت طولانی مدت (۶۰ روزه) دو بعدی و سه بعدی با روش real time PCR مورد بررسی قرار گرفت تا تغییرات بیان آنها در دو حالت کشت مشخص گردد. با تعیین بیان ژنی در دو حالت کشت دو بعدی و سه بعدی می‌توان تغییرات مورفولوژیک سلول‌ها در دو حالت کشت را با بیان ژن‌های اختصاصی غضروفی ارتباط داد. کندروسیت‌های مفصلی به عنوان کاندید مناسب برای مقاصد سلول درمانی ضایعات وسیع بافتی در غضروف‌های مفصلی محسوب می‌شوند. در استراتژی‌های سلول درمانی به تعداد زیادی سلول برای پیوند نیاز است. این در حالی است که نمونه‌های بافتی غضروف حاوی تعداد کمی سلول کندروسیت است و به همین دلیل تکثیر سلول در محیط کشت غیر قابل اجتناب است. در شرایط تکثیر سلول‌ها، مورفولوژی تمایز یافتگی خود را از دست می‌دهند و دچار تمایز زدایی می‌شوند. کشت مجدد سلول در داخل داریست مناسب مورفولوژی تمایز یافتگی آنها را برمی‌گرداند. در تحقیق حاضر برای درک بهتر این تغییرات مورفولوژیک، الگوی بیان ژنی سلول‌ها بررسی شد.

در تحقیق حاضر ماهیت کندروسیتی سلول‌ها در کشت اولیه با روش‌های مولکولی بررسی نشد ولی به دلایلی سلول‌های جدا شده از قطعات غضروف مفصلی در مطالعه حاضر ماهیت کندروسیتی داشتند: ۱- بافت غضروف مفصلی تنها حاوی یک نوع سلول (یعنی کندروسیت) است بنابراین حضور سایر سلول‌ها در کشت موضوعیت ندارد. عموماً اثبات ماهیت سلولی در کشت‌هایی انجام می‌شود که بافت مورد استفاده چندین نوع سلول را در خود جای داده باشد مثلاً استخراج سلول بنیادی مزانشیمی از بافت مغز استخوان که حاوی سلول‌های متنوع از جمله سلول خونساز، ماکروفاژ، اندوتیال و غیره است. ۲- مورفولوژی تیپیک سلول‌ها در

و آگریکان نیز کاهش یافته و بیان ژن‌های فیبروبلاستی یعنی کلازن I در آنها افزایش یافته است. کشت سلول‌ها به فرم سه بعدی در آژینت در واقع تقلیدی از شرایط رشد سلول‌های مزانشیمی در شروع کندروزنیز در دوره جنبی و ایجاد یک محیط مناسب برای برقراری الگوی سیگنانالینگ سلولی است که در بدن فراهم می‌شود [۲۱ و ۲۲]. با کشت کندروسیت‌های تمایز زدایی شده در آژینت، این سلول‌ها مورفولوژی از دست رفته خود را دوباره به دست آوردن. این تغییرات با افزایش بیان⁹ Sox9، کلازن II و آگریکان همراه بود.

هدف اصلی تحقیق حاضر بررسی و مقایسه بیان ژنی کندروسیت‌ها در دو حالت کشت دو بعدی روی سطح پلاستیک و سه بعدی در داخل آژینت بود. موضوع دیگر تأثیر این دو روش کشت بر میزان مرگ و آپوپتوزیس کندروسیت‌هاست. این نکته در مطالعه حاضر بررسی نشد. توجه به این مسئله از این نظر که در کشت آژینت (سه بعدی) سلول‌ها از اطراف در معرض سیگنانال‌های ماتریکسی هستند و می‌توانند survival آنها را بیشتر کنند و از طرف دیگر؛ سلول‌های عمقی در توده آژینتی ممکن است به دلیل عدم کفایت انتشار نوترینت‌ها به سمت مرگ پیش روند، جالب توجه است و نیاز به بررسی بیشتر دارد.

روی هم رفته می‌توان گفت که ماتریکسی که کندروسیت در مجاورت آن کشت می‌شود، تعیین کننده ژنوتیپ و متعاقب آن فنوتیپ سلول است. با کشت کندروسیت بر سطح پلاستیک بیان ژن‌های اختصاصی غضروفی کاهش می‌یابد و سلول مورفولوژی فیبروبلاست را کسب می‌کند. با کشت کندروسیت در داخل آژینت ژن‌های اختصاصی غضروف افزایش بیان پیدا می‌کند و مورفولوژی تیپیک کندروسیت کسب می‌شود.

را در دو حالت کشت بررسی کردند [۱۷]. بر اساس نتایج آن‌ها دو ژن transcription factor شامل HIF-1alpha و TWIST و یک ژن cellular adhesion cadherin 11 در دو کشت تغییرات وسیعی نشان دادند. مطالعه حاضر دو تفاوت اساسی با تحقیقات مذکور داشت. اول اینکه کشت در بررسی حاضر طولانی مدت بود (۶۰ روزه) و دوم اینکه در بررسی حاضر ژن‌های اختصاصی کندروسیت‌های بالغ مطالعه شد. کشت طولانی مدت این حسن را دارد که می‌توان تداوم بیان ژن را در شرایط مورد مطالعه بررسی کرد. بر اساس نتایج تحقیق حاضر، این اطمینان حاصل شد که ژن‌های اختصاصی غضروف حداقل تا روز ۶۰ کشت، تداوم بیان دارند.

یکی از ژن‌های مورد مطالعه در تحقیق حاضر ژن Sox9 بود. مطالعات نشان داده است که طی کندروزنیس، همزمان با بیان ژن کلازن II، ژن Sox9 نیز بیان می‌شود. در واقع ژن کد کننده کلازن II هدف پروتئین Sox9 است [۱۹ و ۲۰]. مطالعه in vitro حاضر نیز نشان داد که در کشت سه بعدی برخلاف کشت دو بعدی افزایش بیان ژن کلازن II با افزایش بیان ژن Sox9 همزمان است. این یافته منطبق بر یافته‌های مطالعات in vivo پیشین است.

با توجه به یافته‌های تحقیق حاضر، تغییرات مورفولوژیک کندروسیت‌های مفصلی در دو حالت کشت قابل تفسیر است. کندروسیت‌ها در کشت تک لایه در کشت اولیه مورفولوژی کندروسیت‌های بالغ را داشتند یعنی گرد و چندضلعی بوده و به صورت اجتماعات کوچک چند سلولی رشد کردند. با انجام پاساژهای بعدی این سلول‌ها به مرور دچار تغییر شده و از فرم گرد به سلول‌های کشیده با مورفولوژی دوکی تبدیل شدند. در این مرحله بررسی‌های مولکولی نشان داد که بیان ژن رونویسی⁹ sox9 کاهش یافته که همزمان بیان ژن‌های کلازن

References

- Buckwalter JA, Mankin HJ. Articular cartilage: degeneration and osteoarthritis, repair,

regeneration, and transplantation. Instr Course Lect 1998; 47: 487-504.

2. Buckwalter JA, Mankin HJ. Articular cartilage: tissue design and chondrocyte-matrix interactions. Instr Course Lect 1998; 47: 477-86.
3. Cohen NP, Foster RJ, Mow VC. Composition and dynamics of articular cartilage: structure, function, and maintaining healthy state. J Orthop Sports Phys Ther 1998; 28: 203-15.
4. Brittberg M, Lindahl A, Nilsson A, Ohlsson C, Isaksson O, Peterson L. Treatment of deep cartilage defects in the knee with autologous chondrocyte transplantation. N Engl J Med 1994;331: 889-95.
5. Rodriguez AM, Vacanti CA. Tissue engineering of cartilage. In: Patrick Jr CW, Mikos AG, McIntire LV, editors. Frontiers in tissue engineering. New York: Elsevier Science, 1998. P: 400-41.
6. Marijnissen WJ, van Osch GJ, Aigner J, Verwoerd-Verhoef HL, Verhaar JA. Tissue-engineered cartilage using serially passaged articular chondrocytes. Chondrocytes in alginate, combined in vivo with a synthetic (E210) or biologic biodegradable carrier (DBM). Biomaterials 2000;21: 571-80.
7. Beekman B, Verzijl N, Bank RA, von der Mark K, TeKoppele JM. Synthesis of collagen by bovine chondrocytes cultured in alginate; posttranslational modifications and cell-matrix interaction. Exp Cell Res 1997; 237: 135-41.
8. Atala A, Kim W, Paige KT, Vacanti CA, Retik AB. Endoscopic treatment of vesicoureteral reflux with a chondrocyte-alginate suspension. J Urol 1994; 152:641-3.
9. Chang SC, Rowley JA, Tobias G, Genes NG, Roy AK, Mooney DJ, et al. Injection molding of chondrocyte/alginate constructs in the shape of facial implants. J Biomed Mater Res 2001; 55: 503-11.
10. Chang PL. Encapsulation for somatic gene therapy. Ann NY Acad Sci 1999; 875: 146-58.
11. Selden C, Khalil M, Hodgson H. Three dimensional culture upregulates extracellular matrix protein expression in human liver cell lines-a step towards mimicking the liver in vivo? Int J Artif Organs 2000; 23: 774-81.
12. Paige KT, Cima LG, Yaremchuk MJ, Schloo BL, Vacanti JP, Vacanti CA. De novo cartilage generation using calcium alginate-chondrocyte constructs. Plast Reconstr Surg 1996; 97: 168-78.
13. Lemare F, Steinberg N, Le Griet C, Demignot S, Adolphe M. Dedifferentiated chondrocytes cultured in alginate beads: restoration of the differentiated phenotype and of the metabolic responses to interleukin-1beta. J Cell Physiol 1998; 176: 303-13.
14. Hauselmann HJ, Fernandes RJ, Mok SS, Schmid TM, Block JA, Aydelotte MB, et al. Phenotypic stability of bovine articular chondrocytes after long-term culture in alginate beads. J Cell Sci 1994; 107: 7-27.
15. Tallheden T, Karlsson C, Brunner A, Van Der Lee J, Hagg R, Tommasini R, et al. Gene expression during redifferentiation of human articular chondrocytes. Osteoarthritis Cartilage 2004 ;12: 525-35.
16. Haudenschild DR, McPherson JM, Tubo R, Binette F. Differential expression of multiple genes during articular chondrocyte redifferentiation. Anat Rec 2001; 263: 91-8.
17. Stokes DG, Liu G, Coimbra IB, Piera-Velazquez S, Crowl RM, Jiménez SA. Assessment of the gene expression profile of differentiated and dedifferentiated human fetal chondrocytes by microarray analysis. Arthritis Rheum 2002 ;46: 404-19.
18. Eslaminejad MB, Taghiyar L, Falahi F. costal versus articular chondrocytes in alginate three-dimensional cultures. Iranian J Biotech 2009; 3: 129-36.
19. Bell DM, Leung KK, Wheatley SC, Ng LJ, Zhou S, Ling KW, et al. SOX9 directly regulates the type-II collagen gene. Nat Genet 1997;16: 174-8.

20. **Lefebvre V, Li P, de Crombrugghe B.** A new long form of Sox5 (L-Sox5), Sox6 and Sox9 are coexpressed in chondrogenesis and cooperatively activate the type II collagen gene. *EMBO J* 1998;17: 5718-33.
21. **Crowe R, Zikherman J, Niswander L.** Delta-1 negatively regulates the transition from prehypertrophic to hypertrophic chondrocytes during cartilage formation. *Development* 1999 126:987-998.
22. **Kojima M, Itoh S, Ikeda M, Satake H, Koyama S, Aoyama T, et al.** Usefulness of a method for changing tube current during helical scanning in multislice CT. *Radiat Med* 2003; 21: 193-204.